

УДК 543.4.546.3

СИНТЕЗ ТОНКИХ ПЛЕНОК НА ОСНОВЕ ZnO, ДОПИРОВАННЫХ Ga, In, И ОПРЕДЕЛЕНИЕ ИХ СОСТАВА МЕТОДАМИ РЕНТГЕНОВСКОЙ СПЕКТРОСКОПИИ И МАСС-СПЕКТРОМЕТРИИ С ИНДУКТИВНО-СВЯЗАННОЙ ПЛАЗМОЙ¹

© Д. Г. Филатова², Н. А. Воробьева², М. Н. Румянцева², В. Б. Барановская³, А. Е. Баранчиков³, В. К. Иванов³, А. М. Гаськов²

Статья поступила 8 июля 2016 г.

Предложен подход для исследования состава синтезированных тонких пленок на основе цинка, допированных In и Ga, с применением методов локального рентгеноспектрального анализа (ЛРСА) и масс-спектрометрии с индуктивно-связанной плазмой (ИСП-МС). Установлена зависимость содержания и распределения добавок в образце от условий синтеза на вращающихся подложках. Результаты определения доминирующих примесей методом ИСП-МС в растворах пленок использованы для аттестации результатов, полученных методом ЛРСА без пробоподготовки. Показано, что определение допиравших примесей с содержанием менее 1 % ат. возможно только методом ИСП-МС.

Ключевые слова: новые материалы; тонкие пленки; масс-спектрометрия с индуктивно-связанной плазмой; рентгеновская спектроскопия; цинк; галлий; индий.

Оксид цинка является перспективным функциональным полупроводником с уникальными оптическими и электрическими свойствами. Материалы на основе ZnO относятся к группе прозрачных проводящих оксидов и в форме пленок используются в качестве прозрачных электродов [1, 2]. Однако недопированный ZnO является высокорезистивным материалом, поэтому необходимы поиск и исследование легирующих добавок для увеличения его проводимости. Нами предложен способ синтеза тонких пленок на основе оксида цинка с добавками галлия и индия методом накапывания на вращающуюся подложку (spin coating), исследованы оптические и электрические свойства полученных пленок ZnO (Ga), ZnO (In) и ZnO (Ga, In) [3]. Отмечено, что при использовании данного метода синтеза свойства синтезированного материала в отдельных частях пленок различаются. Поэтому необходимо изучение распределения допиравших элементов от центра к краям пленок. Ранее нами предложен подход к определению индия и галлия в порошках на основе ZnO методом ИСП-МС в растворах, полученных в результате разложения пробы, и методом РФА ПВО в твердой фазе без разложения пробы [4]. При этом результаты, полученные методом ИСП-МС, использованы для аттестации результатов определения допиравших примесей в образцах без пробоподготовки. Толщина стеклянного носителя для пленок составляет

несколько миллиметров, поэтому анализ методом РФА ПВО в данном случае затруднен. Нами предложено определять катионный состав пленок двумя методами — ИСП-МС и ЛРСА. Последний имеет преимущество неразрушающего анализа, не требующего дополнительной пробоподготовки. Метод ИСП-МС был использован для подтверждения правильности полученных результатов в условиях отсутствия стандартных образцов состава пленок.

Синтез. Тонкие пленки на основе оксида цинка получали из раствора методом накапывания на вращающуюся подложку. В качестве источников цинка, галлия и индия использовали соответствующие нитраты $Zn(NO_3)_2 \cdot 6H_2O$, $Ga(NO_3)_3 \cdot 8H_2O$, $In(NO_3)_3 \cdot 4,5H_2O$, которые растворяли в 2-метоксиэтаноле (2-МЕ) при перемешивании магнитной мешалкой при комнатной температуре в течение 2 ч. Полученные растворы фильтровали через бумажный фильтр и смешивали таким образом, чтобы концентрация допиравшей добавки составляла 0–5 % ат. Для получения пленок ZnO (Ga, In) отношение галлия к цинку $[Ga]/([Ga] + [Zn])$ в растворе составляло 0,74 % ат., содержание индия варьировали в интервале 0–4,7 % ат. Общая концентрация катионов (Zn^{2+} , Ga^{3+} и In^{3+}) в растворе составляла 0,4 моль/л.

В качестве подложек использовали предметные стекла для микроскопа толщиной 1,0–1,2 мм, предварительно разрезанные на квадраты со стороной 2,5 см. Перед нанесением раствора стекла очищали в течение 10–15 мин в ультразвуковой ванне в ацетоне и затем в дезинфицированной воде, после чего сушили на воздухе при 200 °C в течение 10 мин.

¹ Работа выполнена при поддержке РФФИ по проектам № 14-03-00688 и № 15-03-03015.

² Московский государственный университет имени М. В. Ломоносова, Москва, Россия; e-mail: gak1.analyt@gmail.com

³ Институт общей и неорганической химии им. Н. С. Курнакова РАН, Москва, Россия.

После нанесения каждого слоя подложку с пленкой сушили при 200 °C в течение 5 мин. Процесс нанесения слоя и сушки повторяли 10 раз для получения пленок толщиной 400 – 500 нм. После нанесения всех слоев пленки сушили при 200 °C, затем нагревали со скоростью 1,3 °C/мин до 500 °C и выдерживали на воздухе при этой температуре в течение 6 ч.

Приборы и материалы. Состав образцов методом ЛРСА определяли с использованием растрового электронного микроскопа Carl Zeiss NVision 40, оснащенного микрозондовым анализатором Oxford Instruments X-MAX.

Анализ катионного состава пленок проводили от центра к краю (углу) с шагом 1 или 2 мм для прямоугольных областей размером 1 × 3 мм. Помимо содержания галлия и индия, в пленках для всех точек было определено соотношение суммарного содержания катионов в пленке к содержанию кремния ($[Zn] + [M]/[Si]$, пропорциональное толщине пленки). Кремний входит в материал подложки (стекло), и уменьшение интенсивности его линии свидетельствует о росте толщины пленки [5].

Тонкие пленки — нанокристаллический слой ZnO (толщиной ~300 нм), нанесенный на стеклянный носитель, с содержанием допирующих примесей от 0,5 до 10 %. Исследовали разные участки пленки на подложке, для обоих методов анализа площадь проанализированного участка пленки для единичного измерения составляла 2 – 3 мм².

Пленки анализировали методом ИСП-МС с использованием квадрупольного масс-спектрометра с индуктивно-связанной плазмой Agilent 7500C (Япония), характеристики которого приведены ниже:

Плазма:

мощность генератора, Вт 1400
скорость потока плазмообразующего газа, л/мин. . . 15
скорость подачи пробы, л/мин. 1

Масс-спектрометр:

разрешение, масс 0,7
вакуум без плазмы, Торр $4 \cdot 10^{-5}$
вакуум с плазмой, Торр $4 \cdot 10^{-4}$

Параметры измерения:

время измерения, с 0,3
количество точек на пик 3

Для измерения использовали следующие изотопы: ^{66}Zn , ^{67}Zn , ^{68}Zn , ^{69}Ga , ^{71}Ga , ^{115}In .

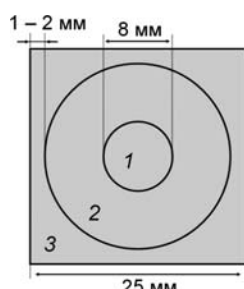


Рис. 1. Схематическое изображение расположения различных участков пленки: 1 — центральный; 2 — средний; 3 — крайний

В работе использовали дозаторы объемом 50 мкл (Eppendorf, Германия), 100 мкл (Ленпипет Колор, Россия), 100 – 1000 мкл, 1 – 5 мл, 1 – 5 мкл (LabMate, Польша), одноразовые наконечники (VWR, США) и полипропиленовые пробирки объемом 2, 10 и 50 мл (Greiner Bio-One GmbH, Германия).

Для приготовления рабочих и градуировочных растворов использовали концентрированную азотную кислоту (65 %) марки «р. а.» (Merck, Германия) и дезионированную воду Millipore Simplicity (Millipore, Франция, 18,2 МОм · см).

Градуировочные растворы, содержащие 1, 10 и 100 мкг/л определяемых элементов, готовили последовательным разбавлением 1 %-ной HNO_3 стандартного многоэлементного раствора ICP-MS-68 (High-Purity Standards, США) с содержанием определяемых элементов 10 мг/л. Для определения Ga и In в тонких пленках на стеклянном носителе без учета их распределения по объему материала методом ИСП-МС было предложено смыть пленки азотной кислотой. Для этого часть стекла с нанесенной проводящей пленкой помещали в пробирку, добавляли 400 мкл азотной кислоты и 600 мкл дезионированной воды. В качестве контрольной пробы были взяты образцы стекла — носителя без пленки. Анализировали пленки, допированные Ga, In и Ga + In.

Для оценки равномерности распределения галлия в тонких пленках отбирали пробы в различных частях (край, середина, центр). Затем пробы помещали в пробирку и добавляли 200 мкл HNO_3 , доводили объем раствора до 1 мл дезионированной водой.

Анализ пленок методом ИСП-МС. Результаты определения галлия и индия в растворах пленок методом ИСП-МС представлены в табл. 1 – 3.

Как видно из полученных данных, определение отношения содержания In и Ga к суммарному содержанию катионов ($\text{In} + \text{Zn} + \text{Ga}$) в тонких пленках на основе оксида цинка возможно со стандартным отклонением $S_r(\text{Ga}) = 0,06$; $S_r(\text{In}) = 0,07$.

Для оценки равномерности распределения галлия и индия в тонких пленках ZnO в условиях синтеза на вращающихся подложках отбирали пробы в различных частях пленки (рис. 1): край, середина, центр. Зависимости содержания Ga в ZnO (Ga) и In в ZnO (In) для разных участков пленки от состава исходного раствора представлены на рис. 2. Приведенные в табл. 1 – 3 содержания галлия и индия соответствуют «среднему» участку пленок между центром и кра-

Таблица 1. Результаты определения Ga в пленках ZnO ($n = 5$; $P = 0,95$)

Заложено $\text{Ga}/(\text{Zn} + \text{Ga})$, % ат.	Найдено $\text{Ga}/(\text{Zn} + \text{Ga})$, % масс.	Рассчитано $\text{Ga}/(\text{Zn} + \text{Ga})$, % ат.
0,25	$0,27 \pm 0,03$	0,26
0,5	$0,64 \pm 0,07$	0,62
1,0	$1,2 \pm 0,1$	1,10
3,0	$12,8 \pm 0,9$	12,0
5,0	$18,0 \pm 2,0$	19,0

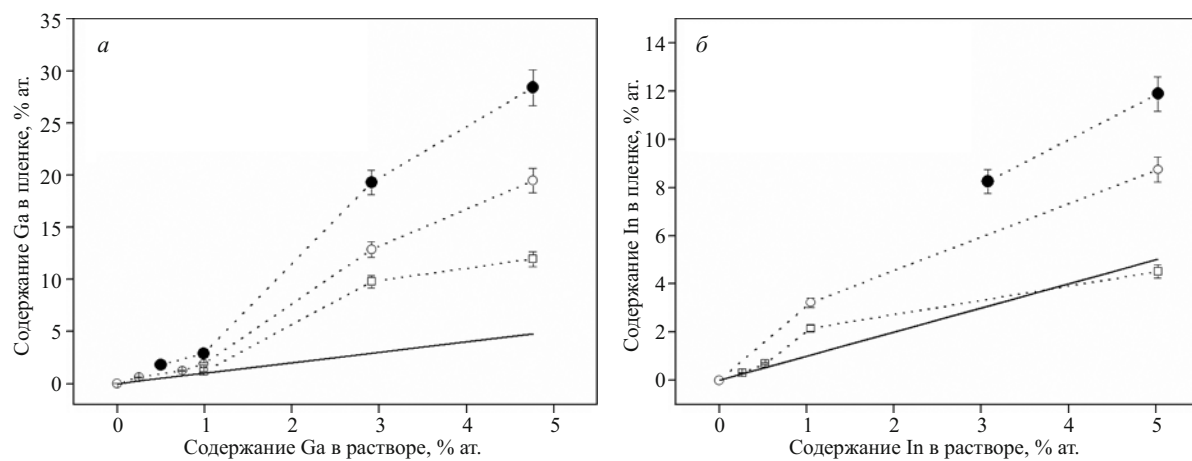


Рис. 2. Зависимости содержания Ga (а) и In (б) для центрального (●), среднего (○) и крайнего (□) участков пленки ZnO (Ga) от состава исходного раствора (сплошная линия соответствует точному совпадению катионного состава пленки с составом исходного раствора)

ем, где образовывалась более равномерная по толщине и свойствам пленка (см. рис. 1). В результате проведенного исследования выявлены условия синтеза, при которых получаются однородные по составу пленки: образец стекла с нанесенной пленкой в три слоя, содержащий 1 % Ga, приготовленный при температуре отжига 500 °C. В однородных пленках проведено определение галлия и рассчитаны метрологические характеристики: ПО(Ga) = 0,06 мкг/л; ПО(Zn) = 2,87 мкг/л.

Установлено, что катионный состав пленок, синтезированных с добавлением Ga и In, отличается от состава исходных растворов, с увеличением содержания донорирующих примесей это отклонение увеличивается (см. табл. 1 – 3). Обнаружено также, что состав разных участков пленки различен: для центра пленки содержание донорирующих примесей выше (см. рис. 2).

Нами установлено, что для системы ZnO (Ga, In) наблюдается меньшее отклонение состава от заданного при синтезе (см. табл. 3).

Анализ пленок методом ЛРСА. Пример спектра ЛРСА для участка пленки ZnGa3 на расстоянии 8 мм от центра представлен на рис. 3. В спектрах ЛРСА присутствуют линии элементов, входящих как в состав подложки (O, Mg, Al, Si, K, Ca), так и пленки (O, Zn, Ga).

На рис. 4 представлены результаты исследования состава пленки ZnGa3 при переходе от центра к углу подложки.

От центра к краю увеличивается соотношение $([Zn] + [Ga])/[Si]$, что свидетельствует об увеличении толщины пленки. Содержание галлия, напротив,

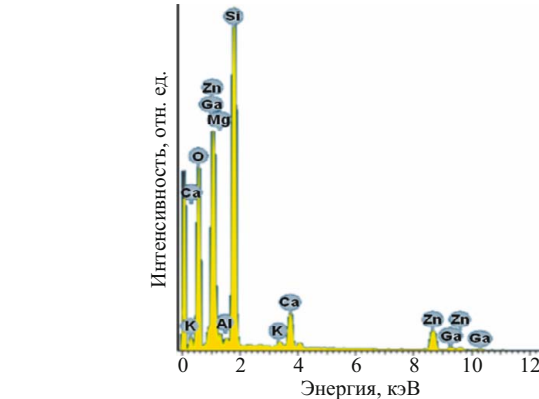


Рис. 3. Спектр ЛРСА для участка пленки ZnGa3 на расстоянии 8 мм от центра

уменьшается от 20 – 22 % ат. для центра до 4 – 5 % ат. для края пленки. Полученные данные согласуются с результатами, полученными методом ИСП-МС в растворах: от 18 % ат. для центра до 7 % ат. для края пленки (см. рис. 2).

Для пленок ZnIn3 и ZnGa1In3 обнаружены аналогичные тенденции в изменении содержания донорую-

Таблица 2. Результаты определения In в пленках ZnO ($n = 5$; $P = 0,95$)

Заложено In/(Zn + In), % ат.	Найдено In/(Zn + In), % масс.	Рассчитано In/(Zn + In), % ат.
0,25	$0,50 \pm 0,06$	0,26
0,5	$2,10 \pm 0,08$	1,15
1,0	$6,0 \pm 0,4$	3,2
5,0	$14,2 \pm 0,9$	8,4

Таблица 3. Результаты определения In и Ga в пленках ZnO ($n = 5$; $P = 0,95$)

Заложено Ga/(Zn + In + Ga), In/(Zn + In + Ga), % ат.	Найдено In/(Zn + In + Ga), % масс.	Рассчитано In/(Zn + In + Ga), % ат.	Найдено Ga/(Zn + In + Ga), % масс.	Рассчитано Ga/(Zn + In + Ga), % ат.
Ga1In0,5	$1,20 \pm 0,06$	0,70	$1,40 \pm 0,07$	1,30
Ga1In1	$2,0 \pm 0,2$	1,2	$1,42 \pm 0,07$	1,30
Ga1In3	$6,0 \pm 0,4$	3,30	$1,40 \pm 0,07$	1,30

шней добавки и толщины пленки при переходе от центра к краю подложки (рис. 5), данные для пленок ZnIn3 согласуются с данными ИСП-МС (см. рис. 3). Отличие состава и толщины в разных участках пленки больше для ZnGa3, чем для ZnGa1In3, что ранее также установлено методом ИСП-МС (см. табл. 3).

Для пленки ZnGa1In3 установлено, что во всех областях присутствуют цинк и индий, галлий был обнаружен только для некоторых участков пленки на уровне 1,0–1,6 % ат. (рис. 6). Можно предположить, что это обусловлено низкой чувствительностью метода ЛРСА.

Одним из объяснений отклонения катионного состава пленок от заданного при синтезе может быть

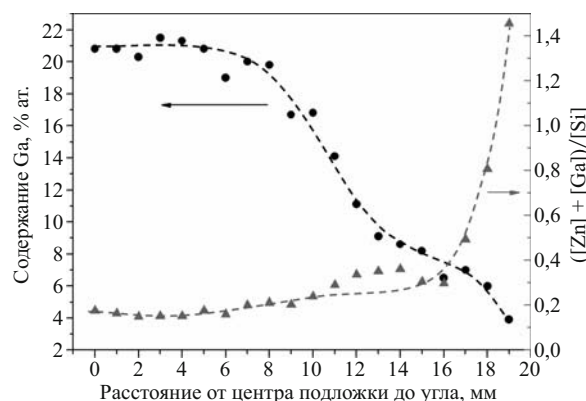


Рис. 4. Результаты исследования состава пленки ZnGa3 при переходе от центра к углу подложки

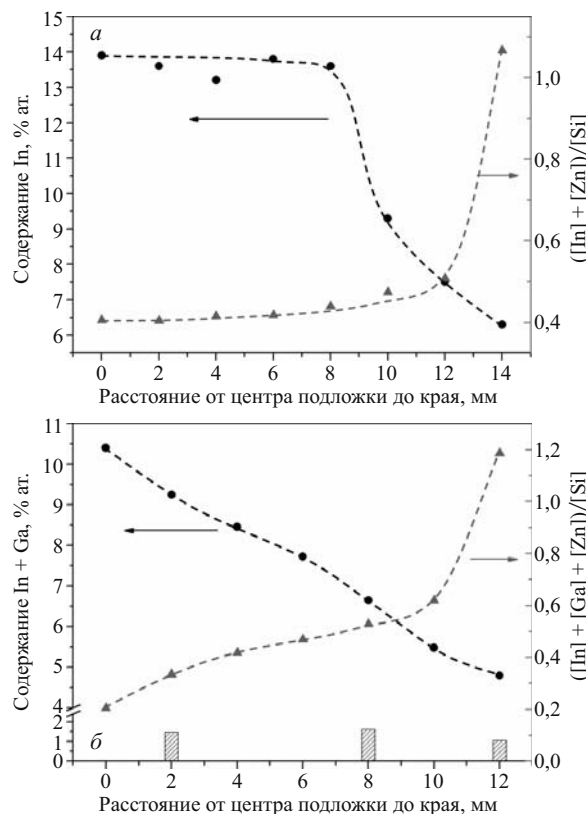


Рис. 5. Результаты исследования состава пленок ZnIn3 (а) и ZnGa1In3 (б) при переходе от центра к краю подложки

завышение концентрации допиравшей добавки вследствие частичного испарения оксидов с поверхности материала при отжиге. В работе [6] приведены значения парциальных давлений основных компонентов пара (Zn , In_2O , Ga_2O), образующих газовую фазу при испарении оксидов цинка, индия и галлия. При $1265 - 1266^{\circ}C$ (минимальная температура, для которой представлены данные по испарению Ga_2O_3) соотношение парциальных давлений $Zn:In_2O:Ga_2O$ составляет примерно $2300:67:1$. Таким образом, наиболее летучим компонентом пленок является оксид цинка, наименее летучим — оксид галлия, что может приводить к большему завышению содержания галлия по сравнению с индием в пленках после отжига. Толщина пленок невелика и лежит в интервале $250 - 370$ нм для 10 нанесенных слоев, следовательно, испарение оксидов с поверхности играет существенную роль. Предположение об испарении оксида цинка было высказано авторами работы [7] для объяснения изменения содержания индия в порошках $ZnO - In_2O_3$ при отжиге при $600 - 1000^{\circ}C$.

Другой фактор, который может влиять на изменение состава, — частичное растворение и удаление с поверхности ZnO , образованного при сушке предыдущих слоев, при нанесении последующих слоев пленки. Сопоставление констант гидролиза для Zn^{2+} , Ga^{3+} и In^{3+} ($pK = 9,0$, $2,6$ и $4,0$ соответственно [8]) показывает, что для растворов, содержащих данные катионы в одинаковых концентрациях, водородный показатель pH уменьшается в ряду $Zn^{2+} \gg In^{3+} > Ga^{3+}$. Увеличение кислотности раствора может приводить к частичному растворению поверхностных слоев ZnO и удалению катионов цинка (например, в форме гидратированного иона $Zn(H_2O)_x^{2+}$) с подложки в процессе вращения.

Как видно из полученных данных, результаты определения Ga и In методами ИСП-МС и ЛРСА сходятся. При этом с помощью метода ЛРСА можно подтвердить локальную однородность/неоднородность синтезированных пленок, получение информации о количественном составе по всему объему образца

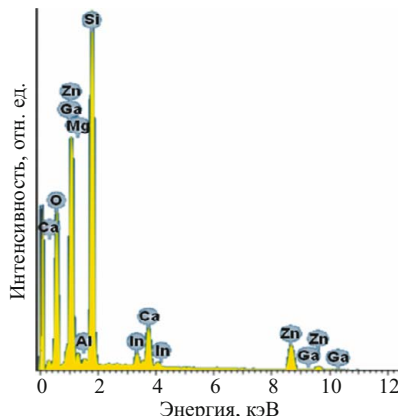


Рис. 6. Спектр ЛРСА для участка пленки ZnGa1In3 на расстоянии 2 мм от центра

ограничено размером пучка. Метод ИСП-МС удобен для определения допиравших добавок в однородных участках материалов.

ЛИТЕРАТУРА

1. Ellmer K. Transparent Conductive Zinc Oxide and Its Derivatives / Handbook of transparent conductors (Eds. D. S. Ginley, H. Hosono, D. C. Paine) — New York: Springer, 2010. P. 193 – 263.
2. Özgür Ü., Alivov Ya. I., Liu C., et al. A comprehensive review of ZnO materials and devices / J. Appl. Phys. 2005. Vol. 98 P. 103.
3. Vorobyeva N. A., Rumyantseva M. N., Vasiliev R. B., et al. Doping effects on electrical and optical properties of spin-coated ZnO thin films / Vacuum. 2015. Vol. 114. P. 198 – 204.
4. Filatova D. G., Alov N. V., Vorobyeva N. A., et al. Quantification of modifiers in advanced materials based on zinc oxide by total reflection X-ray fluorescence and inductively coupled plasma mass spectrometry / Spectrochim. Acta. Part B: Atomic Spectroscopy. 2016. Vol. 118. P. 62 – 65.
5. Бригс Д., Сих М. П. Анализ поверхности методами оже- и рентгеновской фотоэлектронной спектроскопии. — М.: Мир, 1987. — 600 с.
6. Казенас Е. К., Цветков Ю. В. Испарение оксидов. — М.: Наука, 1997. — 543 с.
7. Wang Z., Huang B., Dai Y., et al. Photocatalytic ZnO/In₂O₃ Heterostructures Synthesized by a Coprecipitation Method / J. Phys. Chem. C. 2009. Vol. 113. P. 4612 – 4617.
8. Wulfsberg G. Principles of Descriptive Inorganic Chemistry. — Sausalito: University Science Books, 1991. — 461 p.

REFERENCES

1. Ellmer K. Transparent Conductive Zinc Oxide and Its Derivatives / Handbook of transparent conductors (Eds. D. S. Ginley, H. Hosono, D. C. Paine) — New York: Springer, 2010. P. 193 – 263.
2. Özgür Ü., Alivov Ya. I., Liu C., et al. A comprehensive review of ZnO materials and devices / J. Appl. Phys. 2005. Vol. 98 P. 103.
3. Vorobyeva N. A., Rumyantseva M. N., Vasiliev R. B., et al. Doping effects on electrical and optical properties of spin-coated ZnO thin films / Vacuum. 2015. Vol. 114. P. 198 – 204.
4. Filatova D. G., Alov N. V., Vorobyeva N. A., et al. Quantification of modifiers in advanced materials based on zinc oxide by total reflection X-ray fluorescence and inductively coupled plasma mass spectrometry / Spectrochim. Acta. Part B: Atomic Spectroscopy. 2016. Vol. 118. P. 62 – 65.
5. Briggs D., Seah M. P. Practical Surface Analysis by Auger and X-ray Photoelectron Spectroscopy. — Wiley: Chichester, 1983.
6. Kazenas E. K., Tsvetkov U. V. Isparenie oksidov [Oxide evaporation]. — Moscow: Nauka, 1997. — 543 p. [in Russian].
7. Wang Z., Huang B., Dai Y., et al. Photocatalytic ZnO/In₂O₃ Heterostructures Synthesized by a Coprecipitation Method / J. Phys. Chem. C. 2009. Vol. 113. P. 4612 – 4617.
8. Wulfsberg G. Principles of Descriptive Inorganic Chemistry. — Sausalito: University Science Books, 1991. — 461 p.